

# **Autour de la cryptographie post-quantique**

## **Journée commune NormaSTIC, Normandie Mathématiques**

Magali Bardet, joint work with Vlad Dragoi, Ayoub Otmani,  
Jean-Gabriel Luque, Jean-Pierre Tillich, J. Chaulet

Laboratoire LITIS - Université de Rouen  
Équipe C&A

20 mai 2016

# Plan

- 1 **Cryptographie et codes correcteurs d'erreur**
- 2 Codes QC-MDPC
- 3 Codes polaires

# Cryptographie asymétrique

## Problèmes difficiles utilisés aujourd'hui

- les algorithmes basés sur la factorisation des nombres (RSA),
- les algorithmes basés sur le logarithme discret (El Gamal, DSA, DH, etc).

## Tailles des clefs

- RSA : 2048 bits
- El Gamal sur courbes elliptiques : 256 bits.

# Cryptographie asymétrique

## Problèmes difficiles utilisés aujourd'hui

- les algorithmes basés sur la factorisation des nombres (RSA),
- les algorithmes basés sur le logarithme discret (El Gamal, DSA, DH, etc).

## Tailles des clefs

- RSA : 2048 bits
- El Gamal sur courbes elliptiques : 256 bits.

## Algorithme de Shor

Algorithme dans le modèle quantique qui résout ces problèmes efficacement.

# Cryptographie post-quantique

## Algorithmes cryptographique < sûrs > dans le modèle quantique

- Cryptographie basée sur les réseaux (ex : NTRU).
- Cryptographie multivariée (ex : UOV).
- Cryptographie basée sur les codes (ex : McEliece).

# Cryptosystème de McEliece (1978)

## Problème mathématique

- Clef privée : un code correcteur d'erreur linéaire avec un algorithme de décodage efficace (en temps polynomial) ;
- Clef publique : une base aléatoire de ce code.

Codes proposés par McEliece : les codes de Goppa.

# Cryptosystème de McEliece naïf

## Génération de la clef privée

- On choisit uniformément un code linéaire  $\mathcal{C}$  sur  $\mathbb{F}_q$ , dans une famille de codes corrigeant  $t$  erreurs efficacement ;
- $\mathbf{G}$  matrice génératrice de  $\mathcal{C}$  de taille  $k \times n$ ,  
 $\mathbf{P}$  matrice de permutation de taille  $n$ ,  
 $\mathbf{S}$  matrice inversible de taille  $k$  ;
- La clef privée est  $(\mathbf{S}, \mathbf{G}, \mathbf{P})$  plus l'algorithme de décodage ;
- La clef publique est  $(\mathbf{G}_{pub}, t)$  où  $\mathbf{G}_{pub} = \mathbf{S} \times \mathbf{G} \times \mathbf{P}$ .

# Chiffrement/Déchiffrement

## Chiffrement

Pour  $\mathbf{m} \in \mathbb{F}_q^k$ ,

- tirer une erreur  $\mathbf{e} \in \mathbb{F}_q^n$  de poids de Hamming  $t$ ,
- chiffrer  $\mathbf{c} = \mathbf{m}\mathbf{G}_{pub} + \mathbf{e}$ .

# Chiffrement / Déchiffrement

## Chiffrement

Pour  $\mathbf{m} \in \mathbb{F}_q^k$ ,

- tirer une erreur  $\mathbf{e} \in \mathbb{F}_q^n$  de poids de Hamming  $t$ ,
- chiffrer  $\mathbf{c} = \mathbf{mG}_{pub} + \mathbf{e}$ .

## Déchiffrement

- calculer  $\mathbf{z} = \mathbf{cP}^{-1}$ ,
- calculer  $\mathbf{y} = \text{Decode}_{\mathbf{G}}(\mathbf{z})$ ,
- retourner  $\mathbf{m}' = \mathbf{yS}^{-1}$ .

## Taille des clefs

### Taille de la clef publique pour une sécurité en $2^{128}$

- code de Goppa : plus de 8.000.000 bits.
- code QC-MDPC : 65.000 bits.

## Codes proposés

- Codes de Goppa (1978-).
- Codes GRS (1986-2014).
- sous-code d'un GRS (2005-2010).
- Codes Reed-Muller (1994-2007).
- Codes de Goppa Géométriques (1996-2014).
- Codes LDPC (2000-2008), (2008-).
- Codes de Goppa sauvages (2010-2014).
- Codes MDPC (2012-)
- Codes Polaires (2014-)

# Plan

- 1 Cryptographie et codes correcteurs d'erreur
- 2 Codes QC-MDPC**
- 3 Codes polaires

## QC-MDPC codes (MTSB12)

### Matrices génératrice et de parité

Code linéaire

$$\mathcal{C} = \{c \in \mathbb{F}_2^n \mid \exists m \in \mathbb{F}_2^k, c = m \times \mathbf{G}\} = \{c \in \mathbb{F}_2^n \mid \mathbf{H}^T c = 0\}.$$

### Quasi-Cyclic Moderate Density Parity Check codes

- chaque ligne de la matrice de parité a un poids constant  $w$  ( $w = O(\sqrt{n \log n})$ );
- décodage par l'algorithme « bit flipping » de Gallager;
- quasi-cyclic : la matrice de parité est cyclique par blocs.

# Attaque sur la clef privée

Soit  $\mathcal{C}$  un code QC-MDPC sur  $\mathbb{F}_2$  de paramètres  $(2p, p, w)$ .

## Génération de la clef

- Une matrice de parité pour  $\mathcal{C}$  peut être entièrement décrite par

$$(h_1, h_2) \in (\mathbb{F}_2[x]/(x^p - 1))^2,$$

où  $\|h_1\| + \|h_2\| = w$  et  $h_2$  inversible. La clef privée est  $(h_1, h_2)$ .

- La clef publique est  $f = \frac{h_1}{h_2} \in \mathbb{F}_2[x]/(x^p - 1)$ .

$p$  est premier.

# Attaque sur la clef privée

## Problème de Reconstruction Rationnelle

Étant donné  $f \in \mathbb{F}_2[x]$  avec  $\deg(f) < p$ , trouver  $(\varphi, \psi) \in \mathbb{F}_2[x]^2$  tels que

$$f = \frac{\varphi}{\psi} \pmod{x^p - 1}, \quad \deg(\psi) < r, \quad \deg(\varphi) \leq p - r.$$

Algorithme d'Euclide Étendu appliqué à  $x^p - 1$  et  $f$ . Complexité quadratique, sous-quadratique (Knuth, Schönhage 1971).

# Attaque sur la clef privée

## Problème de Reconstruction Rationnelle

Étant donné  $f \in \mathbb{F}_2[x]$  avec  $\deg(f) < p$ , trouver  $(\varphi, \psi) \in \mathbb{F}_2[x]^2$  tels que

$$f = \frac{\varphi}{\psi} \pmod{x^p - 1}, \quad \deg(\psi) < r, \quad \deg(\varphi) \leq p - r.$$

Algorithme d'Euclide Étendu appliqué à  $x^p - 1$  et  $f$ . Complexité quadratique, sous-quadratique (Knuth, Schönhage 1971).

Combien de clefs sont attaquables par cet algorithme ?

# Comptage des Clefs faibles BDLO '16

Soit  $\mathcal{C}$  un code QC-MDPC de paramètres  $(2p, p, w)$  où  $w = w_1 + w_2$  ( $w_i$  impair).

## Notations

- $\mathcal{P}_{\omega_1, \omega_2} = \left\{ (h_1, h_2) \in (\mathbb{K}[x]/(x^p - 1))^2 \mid \|h_i\| = \omega_i \text{ impairs} \right\}$ .
- $\mathcal{P}_\omega = \bigcup_{\omega_1 + \omega_2 = \omega} \mathcal{P}_{\omega_1, \omega_2}$ .
- $\mathcal{W}_\omega = \{(h_1, h_2) \in \mathcal{P}_\omega : \deg(h_1) + \deg(h_2) < p\}$ .
- $\mathcal{W}_{\omega_1, \omega_2} = \mathcal{W}_\omega \cap \mathcal{P}_{\omega_1, \omega_2}$ .

# Comptage des Clefs faibles BDLO '16

Soit  $\mathcal{C}$  un code QC-MDPC de paramètres  $(2p, p, w)$  où  $w = w_1 + w_2$  ( $w_i$  impair).

## Notations

- $\mathcal{P}_{\omega_1, \omega_2} = \left\{ (h_1, h_2) \in (\mathbb{K}[x]/(x^p - 1))^2 \mid \|h_i\| = \omega_i \text{ impairs} \right\}$ .
- $\mathcal{P}_\omega = \bigcup_{\omega_1 + \omega_2 = \omega} \mathcal{P}_{\omega_1, \omega_2}$ .
- $\mathcal{W}_\omega = \{(h_1, h_2) \in \mathcal{P}_\omega : \deg(h_1) + \deg(h_2) < p\}$ .
- $\mathcal{W}_{\omega_1, \omega_2} = \mathcal{W}_\omega \cap \mathcal{P}_{\omega_1, \omega_2}$ .

## Comptage naïf et asymptotique quand $n \rightarrow \infty$

$$\#\mathcal{W}_{\omega_1, \omega_2} = \binom{p+1}{\omega} \text{ et } \#\mathcal{P}_{\omega_1, \omega_2} = \binom{p}{w_1} \binom{p}{w_2}.$$

$$\#\mathcal{W}_\omega / \#\mathcal{P}_\omega = \frac{w}{2^w p^{c/2}} (1 + o(1)) \text{ si } \frac{w^2}{2p} = c \log p + O(\sqrt{\log p/p}).$$

# Comptage des Clefs faibles BDLO '16

Si  $f = \frac{h_1}{h_2} \pmod{x^P - 1}$  alors

$$x^{i-j} f = \frac{x^i h_1}{x^j h_2} \pmod{x^P - 1} \text{ pour tous } i, j.$$

# Comptage des Clefs faibles BDLO '16

Si  $f = \frac{h_1}{h_2} \pmod{x^p - 1}$  alors

$$x^{i-j} f = \frac{x^i h_1}{x^j h_2} \pmod{x^p - 1} \text{ pour tous } i, j.$$

**Exemple**

$$p = 7, f = \frac{x+x^5}{x^2+x^4+x^5} \text{ et } x^4 f = \frac{x^2 h_1}{x^5 h_2} = \frac{1+x^3}{1+x^2+x^3}.$$

# Comptage des Clefs faibles BDLO '16

Si  $f = \frac{h_1}{h_2} \pmod{x^p - 1}$  alors

$$x^{i-j} f = \frac{x^i h_1}{x^j h_2} \pmod{x^p - 1} \text{ pour tous } i, j.$$

**Exemple**

$$p = 7, f = \frac{x+x^5}{x^2+x^4+x^5} \text{ et } x^4 f = \frac{x^2 h_1}{x^5 h_2} = \frac{1+x^3}{1+x^2+x^3}.$$

Une clef est attaquable si l'un de ses shifts l'est, où si le shift correspondant au *mot de Lyndon* associé l'est.

# Combinatoire

## Compte du nombre de clefs faibles

Compter  $L^k(p, w)$ , le nombre de mots de Lyndon de longueur  $p$ , de poids  $w$  et de plus grande plage de 0 de taille  $k$  ?

## Biblio

- 1961, Gilbert et Riordan comptent les mots de Lyndon de longueur  $p$  et poids  $w$ .
- Approche probabiliste de Feller et Schilling, Gordon, Waterman en 1986 sur des mots (non de Lyndon) ;
- Approche combinatoire de Bassino, Clément, Nicaud en 2005 mais sans fixer le poids.

## Distribution

### BDLO16, $p$ premier

$$L^{\leq k}(p, w) = \frac{1}{w} \binom{w}{p-w}_k$$

où  $\binom{i}{j}_k = [x^i](1+x+\dots+x^k)^j$  coefficient de Pascal-De Moivre.

# Distribution

## Notations

$X_{p,w_1}$  variable aléatoire représentant la plus grande plage de 0 d'un mot de Lyndon choisis uniformément parmi les mots de taille  $p$  et de poids  $w$  et  $Y_{p,w_1,w_2} = X_{p,w_1} + X_{p,w_2}$ .

$$P(Y_{p,\omega_1,\omega_2} \geq p-1) \sim \omega_1 \omega_2 \frac{\binom{p-1}{\omega_2-2}}{\binom{p-1}{\omega_1-1} \binom{p-1}{\omega_2-1}} \quad \text{quand } p \rightarrow \infty \quad (1)$$

Gain

$$P(Y_{p,\omega_1,\omega_2} \geq p-1) \sim \omega^2 \times \frac{\#\mathcal{W}_{\omega_1,\omega_2}}{\#\mathcal{P}_{\omega_1,\omega_2}}$$

## Autre action

$$\alpha \cdot \left( \sum_{i=0}^{p-1} a_i x^i \right) = \sum_{i=0}^{p-1} a_i x^{\alpha i}.$$

# Résultats numériques

Figure :  $\omega_1 + \omega_2 = \omega$ .

Security level	$p$	$\frac{\omega}{2}$	$\frac{W_\omega}{P_\omega}$ exact value	$P(Y_{p,\omega} \geq p-1)$ upper bound	$P([Y_{p,\omega}] \geq p-1)$ upper bound
80	4801	45	$2^{-84}$	$2^{-71}$	$2^{-60}$
	3593	51	$2^{-96}$	$2^{-83}$	$2^{-72}$
	3079	55	$2^{-105}$	$2^{-91}$	$2^{-80}$
128	9857	71	$2^{-136}$	$2^{-121}$	$2^{-109}$
	7433	81	$2^{-156}$	$2^{-141}$	$2^{-129}$
	6803	85	$2^{-164}$	$2^{-149}$	$2^{-137}$

# Résultats numériques

Figure :  $\omega_1 + \omega_2 = \omega$ .

Security level	$p$	$\frac{\omega}{2}$	$\frac{\mathcal{W}_\omega}{\mathcal{P}_\omega}$ exact value	$P(Y_{p,\omega} \geq p-1)$ upper bound	$P([Y_{p,\omega}] \geq p-1)$ upper bound
80	4801	45	$2^{-84}$	$2^{-71}$	$2^{-60}$
	3593	51	$2^{-96}$	$2^{-83}$	$2^{-72}$
	3079	55	$2^{-105}$	$2^{-91}$	$2^{-80}$
128	9857	71	$2^{-136}$	$2^{-121}$	$2^{-109}$
	7433	81	$2^{-156}$	$2^{-141}$	$2^{-129}$
	6803	85	$2^{-164}$	$2^{-149}$	$2^{-137}$

# Plan

- 1 Cryptographie et codes correcteurs d'erreur
- 2 Codes QC-MDPC
- 3 Codes polaires**

# Les codes polaires

- Très bonne capacité de correction.
- Algorithme de décodage efficace (Arikan 2009).
- Structure algébrique ?

# Définition des codes polaires

$$\begin{pmatrix} 1 & 0 \\ 1 & 1 \end{pmatrix} \otimes \begin{pmatrix} 1 & 0 \\ 1 & 1 \end{pmatrix} = \begin{pmatrix} 1 & 0 & 0 & 0 \\ 1 & 1 & 0 & 0 \\ 1 & 0 & 1 & 0 \\ 1 & 1 & 1 & 1 \end{pmatrix}.$$

# Définition des codes polaires

$$\begin{pmatrix} 1 & 0 \\ 1 & 1 \end{pmatrix} \otimes \begin{pmatrix} 1 & 0 \\ 1 & 1 \end{pmatrix} = \begin{pmatrix} 1 & 0 & 0 & 0 \\ 1 & 1 & 0 & 0 \\ 1 & 0 & 1 & 0 \\ 1 & 1 & 1 & 1 \end{pmatrix}.$$

$$\mathbf{G}_m \stackrel{\text{def}}{=} \underbrace{\begin{pmatrix} 1 & 0 \\ 1 & 1 \end{pmatrix} \otimes \cdots \otimes \begin{pmatrix} 1 & 0 \\ 1 & 1 \end{pmatrix}}_{m \text{ times}}.$$

## Définition des codes polaires

$$\begin{pmatrix} 1 & 0 \\ 1 & 1 \end{pmatrix} \otimes \begin{pmatrix} 1 & 0 \\ 1 & 1 \end{pmatrix} = \begin{pmatrix} 1 & 0 & 0 & 0 \\ 1 & 1 & 0 & 0 \\ 1 & 0 & 1 & 0 \\ 1 & 1 & 1 & 1 \end{pmatrix}.$$

$$\mathbf{G}_m \stackrel{\text{def}}{=} \underbrace{\begin{pmatrix} 1 & 0 \\ 1 & 1 \end{pmatrix} \otimes \cdots \otimes \begin{pmatrix} 1 & 0 \\ 1 & 1 \end{pmatrix}}_{m \text{ times}}.$$

- le code polaire de longueur  $n = 2^m$  et dimension  $k$  est un ensemble de  $k$  lignes déterminées de  $\mathbf{G}_m$ .
- Le code de Reed-Muller d'ordre  $r$ ,  $\mathcal{R}(r, m)$  est le code polaire où l'on choisit les lignes de poids  $\geq 2^{m-r}$ .

# Les codes polaires comme codes monomiaux

Les codes de Reed-Muller peuvent être vus comme des codes d'évaluation :

- $\mathbf{R}_m = \mathbb{F}_2[x_0, \dots, x_{m-1}] / (x_0^2 - x_0, \dots, x_{m-1}^2 - x_{m-1})$ .
- Les mots de code sont les

$$ev(g) = (g(a_0, \dots, a_{m-1}))_{(a_0, \dots, a_{m-1}) \in \mathbf{R}_m^m}.$$

pour  $g \in \mathbf{R}_m$ .

- Le code  $\mathcal{R}(r, m)$  est engendré par les  $\{ev(m) : m \in \mathcal{M}_m\}$ .

# Ordre monomial partiel

## Définition

- On ordonne les monômes par

$$x_{i_1} \cdots x_{i_s} \preceq x_{j_1} \cdots x_{j_s}$$

ssi pour tout  $l$ ,  $i_l \leq j_l$  (avec  $i_1 < \cdots < i_s$  et  $j_1 < \cdots < j_s$ ).

- On étend par divisibilité :  $f \preceq g$  ssi il existe un diviseur  $g^*$  de  $g$  de même degré que  $f$  tel que  $f \preceq g^*$ .

# Decreasing Monomial Code

1

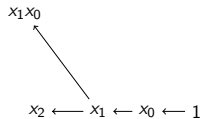
# Decreasing Monomial Code

$x_0 \leftarrow 1$

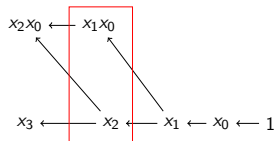
# Decreasing Monomial Code

$$x_1 \leftarrow x_0 \leftarrow 1$$

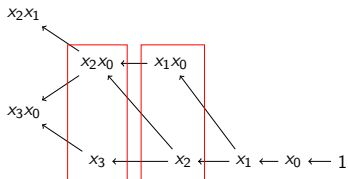
# Decreasing Monomial Code



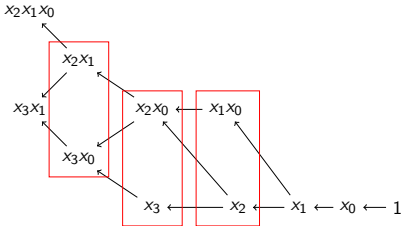
# Decreasing Monomial Code



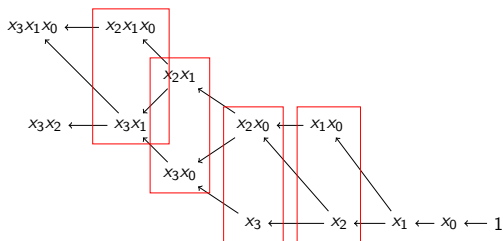
# Decreasing Monomial Code



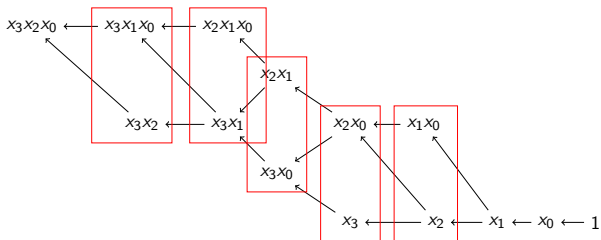
# Decreasing Monomial Code



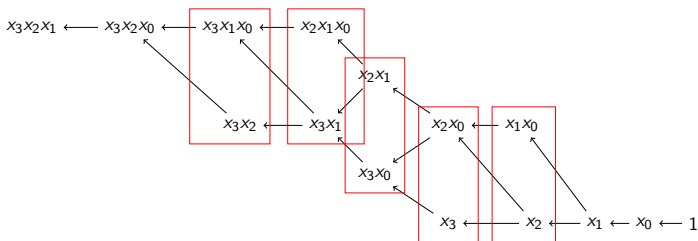
# Decreasing Monomial Code



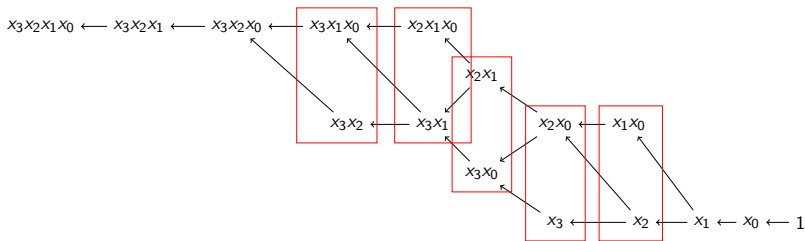
# Decreasing Monomial Code



# Decreasing Monomial Code



# Decreasing Monomial Code



# Codes Monomiaux Décroissants

## Ensemble décroissant

Un ensemble  $I \subseteq \mathcal{M}_m$  est décroissant si

$$f \in I \text{ et } g \preceq f \implies g \in I.$$

# Codes Monomiaux Décroissants

## Ensemble décroissant

Un ensemble  $I \subseteq \mathcal{M}_m$  est décroissant si

$$f \in I \text{ et } g \preceq f \implies g \in I.$$

## Code monomial décroissant

- Un code linéaire d'évaluation est défini par un ensemble  $I$  de polynômes et vérifie  $\mathcal{C}(I) = \text{Vect}(\{ev(f) \mid f \in I\})$ .
- Si  $I \subseteq \mathcal{M}_m$ , on dit que le code est monomial.
- Si de plus  $I$  est décroissant, on dit que le code est monomial décroissant.

# Propriétés des codes monomiaux décroissants

## Théorème (BDTO, PQcrypto 2016)

- Les codes polaires sont des codes monomiaux décroissants.
- Le dual d'un code monomial décroissant est un code monomial décroissant.
- Leur groupe de permutation contient  $LTA(m, 2)$  l'ensemble des transformations affines de la forme  $x \rightarrow Ax + b$  où  $A$  est une matrice triangulaire inférieure binaire avec des '1' sur la diagonale.
- On peut compter le nombre de mots de code de poids minimum.

# Construction d'un distingueur

## Définitions (codes poinçonnés et raccourcis)

- $\mathcal{P}_{\mathcal{J}}(\mathcal{C}) \stackrel{\text{def}}{=} \left\{ (c_i)_{i \notin \mathcal{J}} \mid \mathbf{c} \in \mathcal{C} \right\};$
- $\mathcal{S}_{\mathcal{J}}(\mathcal{C}) \stackrel{\text{def}}{=} \left\{ (c_i)_{i \notin \mathcal{J}} \mid \exists \mathbf{c} = (c_i)_i \in \mathcal{C} \text{ tq } \forall i \in \mathcal{J}, c_i = 0 \right\}.$

## Attaque par signature

- Si  $r$  est le degré maximum d'un monôme définissant  $\mathcal{C}$ , alors  $I$  contient  $x_0 \dots x_{r-1} \in I$ .
- Le mot de code associé est de poids minimum.
- On choisit  $\mathbf{c}$  un mot de code de poids minimum dans  $\mathcal{C}^\pi$ .
- On calcule une signature :  
 $(\dim(\mathcal{I}_{\text{supp}(\mathbf{c})}(\mathcal{C})^\perp), W_{\min}(\mathcal{I}_{\text{supp}(\mathbf{c})}(\mathcal{C})^\perp))$  pour déterminer les mots de  $\mathcal{C}^\pi$  correspondants à  $x_0 \dots x_{r-1}$  et ses translatés.
- On trouve la permutation sur le support de  $x_0 \dots x_{r-1}$ .
- On poursuit par induction pour les monômes  $x_0 \dots x_i$  avec  $i \leq r$ .

## Conclusion

- Des outils mathématiques appliqués à la cryptographie.
- Codes MDPC : étendre l'attaque.
- Étude des sous-codes des codes polaires.
- Problème de l'équivalence de codes : point de vue algébrique.

## Références

- M. Bardet, J. Chaulet, V. Dragoi, A. Otmani, and J.-P. Tillich, *Cryptanalysis of the McEliece Public Key Cryptosystem Based on Polar Codes*, PQCrypto 2016.
- M. Bardet, V. Dragoi, J.-G. Luque, A. Otmani, *Weak Keys for the Quasi-Cyclic MDPC Public Key Encryption Scheme*, Africacrypt 2016.
- M. Bardet, V. Dragoi, A. Otmani, and J.-P. Tillich, *Algebraic Properties of Polar Codes From a New Polynomial Formalism*, ISIT 2016.